

АКАДЕМИЯ НАУК СССР

---

РАДИОТЕХНИКА  
и  
ЭЛЕКТРОНИКА

Том XXVIII

(ОТДЕЛЬНЫЙ ОТТИСК)

8

---

МОСКВА · 1983

УДК 621.391:519.216

## О ХАРАКТЕРИСТИКАХ ГЕНЕРАТОРОВ ДИФРАКЦИОННОГО ИЗЛУЧЕНИЯ С МНОГОКРАТНЫМ ПРОЛЕТОМ ЭЛЕКТРОНОВ

*Воробьев Г. С., Нестеренко А. В., Цвик А. И.,  
Шестопалов В. П.*

Приводятся результаты экспериментальных и теоретических исследований стартовых, энергетических, частотных, спектральных и модуляционных характеристик генераторов дифракционного излучения с отражателем электронного потока (ОГДИ). На основании полученных результатов, а также сравнительного анализа характеристик ОГДИ с другими приборами, обсуждаются перспективы развития этих устройств в миллиметровом и субмиллиметровом диапазонах длин волн.

### ВВЕДЕНИЕ

В последние годы значительное внимание уделяется исследованиям новой модификации генератора дифракционного излучения [1] — отражательного ГДИ (ОГДИ) [2, 3]. Однако до настоящего времени характеристики ОГДИ исследованы в недостаточном объеме [2—6].

В данной работе приводятся результаты экспериментальных исследований и упрощенный теоретический анализ пусковых, энергетических, частотных, спектральных и модуляционных характеристик генераторов дифракционного излучения с многократным пролетом электронов. На основании проведенных исследований определены возможные области практического использования таких приборов.

### 1. ОСОБЕННОСТИ ХАРАКТЕРИСТИК ОГДИ ПРИ ДВУКРАТНОМ ПРОЛЕТЕ ЭЛЕКТРОНОВ

Экспериментальные исследования характеристик ОГДИ проводились в диапазоне длин волн  $\lambda = 3,8\text{--}5,6$  мм на макетах генераторов со сфероцилиндрическими открытыми резонаторами [1]. Отличительной особенностью ОГДИ является то, что электронный поток на выходе из резонатора попадает в тормозящее электростатическое поле отражателя и возвращается обратно в пространство взаимодействия. В зависимости от траекторий движения обратных электронов (конфигурации магнитного и электростатического полей в области отражателя) они либо равномерно оседают на дифракционную решетку (двукаратный пролет), либо попадают в электростатическое поле пушки и совершают последующие пролеты.

Одной из положительных особенностей ОГДИ является возможность безмощностного управления выходными характеристиками с изменением напряжения отражателя  $U_R$  при заданном значении ускоряющего напряжения  $U_0$ . В работе [4] показано, что если активная составляющая мощности, отдаваемой СВЧ-полю электронным потоком при первичном пролете, превышает мощность взаимодействия отраженного пучка, то зависимости пускового тока  $\mathcal{I}_n$  мощности  $P$  и частоты  $f$  генерации имеют осциллирующий характер. В противном случае с изменением  $U_R$  генератор возбуждается в дискретных зонах. В предположении, что  $L \gg 4D$  ( $L$  — длина дифракционной решетки;  $D$  — расстояние от резонатора до отражателя), определены области значений коэффициента токопрохождения обратного пучка электронов ( $k_2$ ) и напряжения  $U_R$ , при которых возбуж-

даются зоны генерации с номерами  $N=0, 1, \dots, N_0$  [4]. В ОГДИ, как и в отражательных клистронах [7], зоны с меньшим  $N$  возбуждаются при более высоких отрицательных напряжениях  $U_R$ , а коэффициент  $k_2$  показывает, во сколько раз величина тока на входе в пространство взаимодействия со стороны отражателя меньше тока  $\mathcal{J}$  электронной пушки.

В результате экспериментальных исследований энергетических и частотных характеристик ОГДИ путем изменения расстояния  $D$  и интервала значений  $U_R$  установлена практическая возможность возбуждения зон генерации с  $N=1, 2, \dots, 16$ . При этом мощность колебаний нарастает с

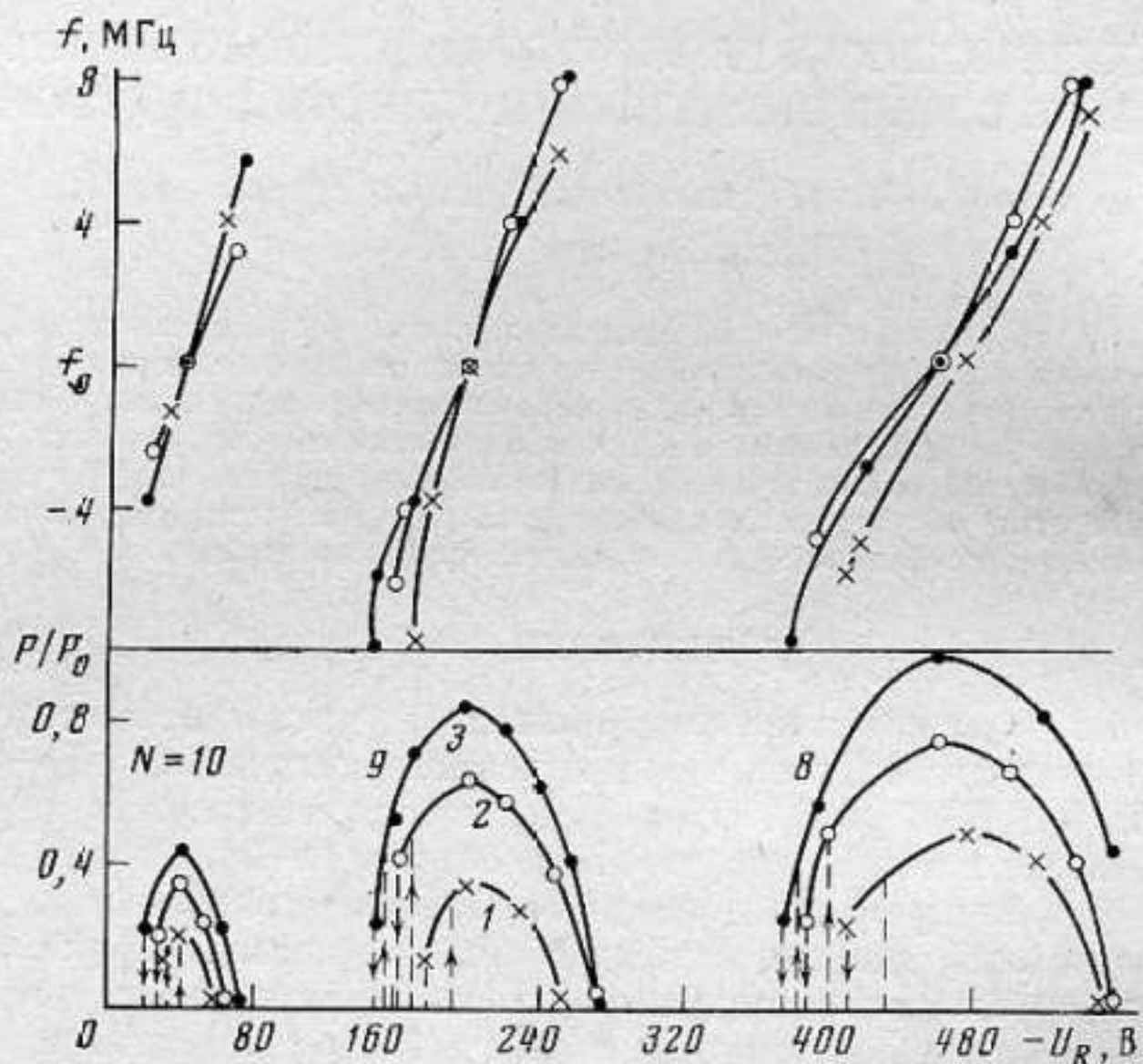


Рис. 1. Энергетические и частотные характеристики ОГДИ при двукратном пролете электронов

переходом на зоны генерации с меньшим номером. Так, при значениях  $D=0,1-0,2$  мм получены зоны генерации  $N=1, 2, 3$  с величиной  $P$  порядка 1 Вт и диапазоном безмощностной перестройки частоты 30–40 МГц в интервале изменения напряжения  $U_R$  до 900 В. С увеличением  $N$  мощность и ширина зон генерации по  $U_R$  уменьшаются, а крутизна  $v_R=\partial f/\partial U_R$  возрастает и может достигать таких же значений, как и при перестройке по ускоряющему напряжению в пролетных ГДИ [1]. Такой характер поведения  $P$  при изменении  $N$  обусловлен наличием в ОГДИ группировки электронов по плотности заряда в тормозящем поле отражателя. При этом, как и в пролетно-отражательном клистроне [7], уменьшается суммарный эффект взаимодействия электронов в поле отражателя с ростом углов пролета (увеличением  $N$ ).

На рис. 1 показаны типичные зоны генерации ОГДИ с номерами  $N=-8, 9, 10$  при  $\mathcal{J}/\mathcal{J}_0=2; 3,7; 4,5$  (кривые 1, 2, 3 соответственно),  $f_0=-75,2$  ГГц,  $U_0=2585$  В,  $f_0$  – резонансная частота. Из рисунка видно, что с увеличением электронного тока мощность и ширина зон генерации возрастают, а крутизна перестройки частоты уменьшается незначительно. При этом в характеристиках ОГДИ наблюдается электронный гистерезис (штриховые линии со стрелками), наличие которого обусловлено процессами возникновения неустойчивых состояний в области малых амплитуд СВЧ-полей (края зон генерации). Неустойчивость колебаний может возникать как за счет нелинейных эффектов, характерных для пролетного ГДИ [5], так и за счет дополнительных явлений: фазировок и модуляций по плотности заряда электронов в поле отражателя; вероятности существования третьего пролета электронов, который, как и в отража-

тельном клистроне [7], может усиливать гистерезисные явления. Для зон генерации с меньшими  $N$  амплитуда СВЧ-поля в открытом резонаторе возрастает и степень проявления гистерезисов при  $k_2 \geq 0,4$  уменьшается.

Практический интерес представляют зависимости мощности генерации от тока пучка (рис. 2,  $k_2 = 0,5$ ; 1 —  $U_0 = 2554$  В,  $U_R = -160$  В; 2 —  $U_0 = 2575$  В,  $U_R = -70$  В; 3 —  $U_0 = 2620$  В,  $U_R = -40$  В). Из этих данных следует, что путем изменения параметров  $U_0$ ,  $U_R$ ,  $\mathcal{Z}$  всегда можно выбрать оптимальные условия, при которых мощность генерации максимальна.

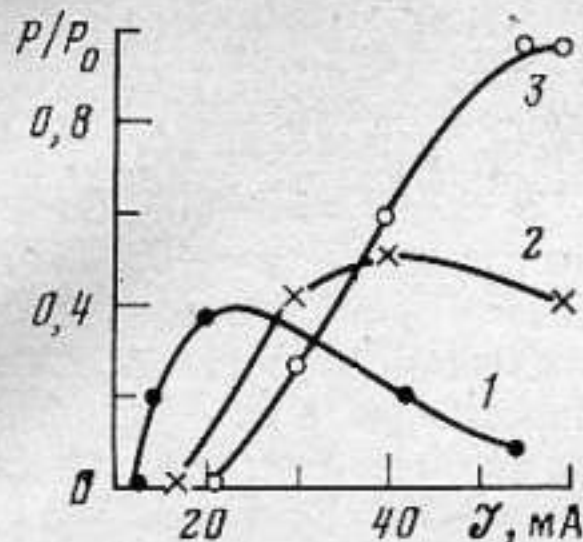


Рис. 2

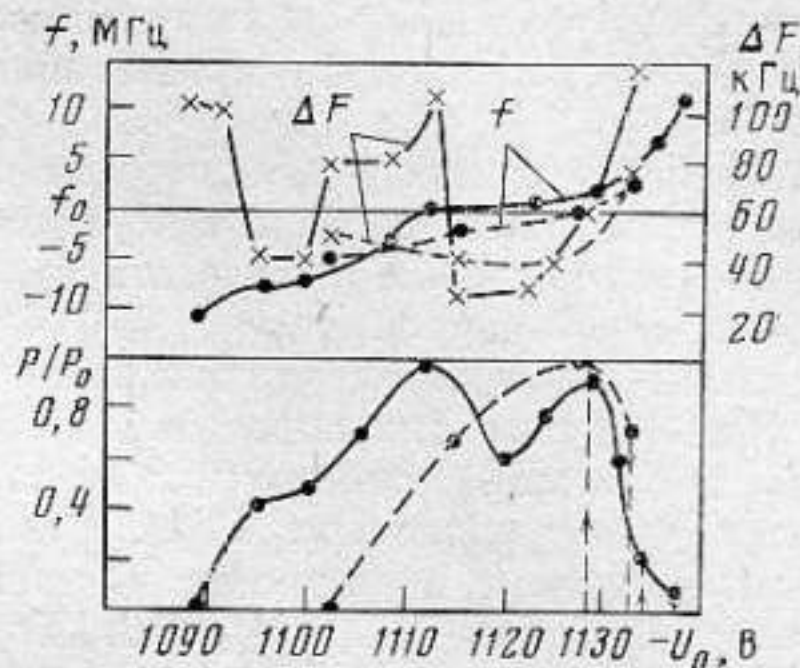


Рис. 3

Рис. 2. Влияние тока пучка на мощность генерации ОГДИ

Рис. 3. Зависимость мощности, частоты и ширины спектра СВЧ-сигнала ОГДИ (сплошные кривые) и пролетного ГДИ (штриховые кривые) от ускоряющего напряжения

Рис. 4. Модуляционные характеристики ОГДИ: а — режим одночастотной модуляции; б — режим двухчастотной модуляции

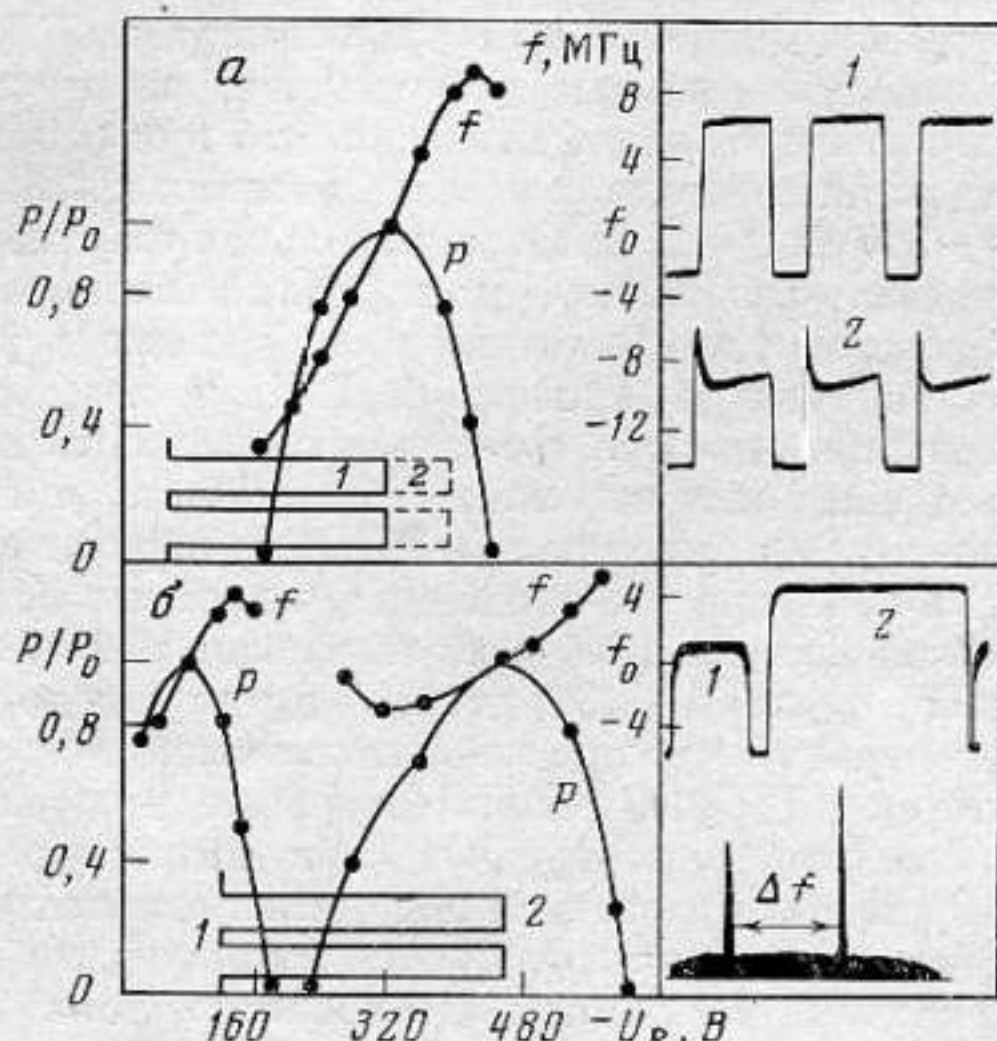


Рис. 4

Следует отметить, что эффективность безмощностного управления выходными характеристиками ОГДИ сохраняется во всем диапазоне комбинированной перестройки частоты (механической и электронной), который, как и в пролетном ГДИ, определяется напряжением  $U_0$ , параметрами электродинамической системы и может превышать октаву.

Остановимся на некоторых результатах экспериментальных исследований спектра СВЧ-сигнала ОГДИ в режиме непрерывной генерации и сравним эти характеристики с другими резонансными приборами, в частности, с пролетным ГДИ, резонансной ЛОВО, отражательным клистроном. Для проведения количественного сравнения ширина спектров  $\Delta F$  сигналов генерации измерялась на уровне 0,1 по отношению к основной амплитуде спектра. Проведенные исследования показали, что при возбуждении дискретных зон генерации (рис. 1) спектр сигналов ОГДИ из-

меняется таким же образом, как и в пролетном ГДИ [8] — минимальные ширины  $\Delta F$  и искажения спектра наблюдаются в области линейных участков перестройки частоты (примерно на уровне 3 дБ от максимальной мощности генерации), а значительное его уширение происходит на краях зон генерации, где возрастает крутизна перестройки частоты. Относительно пролетного ГДИ [8] ширина спектральной линии ОГДИ (с двукратным пролетом) увеличивается в 1,2–1,3 раза, что вызвано дополнительной паразитной модуляцией электронного потока по цепи питания отражателя электронов. В общем случае ширина спектра сигнала четырехмиллиметрового ОГДИ в области максимальной мощности генерации составляла 40–80 кГц, а по краям зоны генерации составляла 80–160 кГц.

Более сложные изменения спектра наблюдаются для осциллирующего изменения мощности и частоты генерации [4]. При перестройке по  $U_R$  минимальное значение  $\Delta F$  соответствует областям положительной крутизны  $v_R$  частотной зависимости ( $v_R=0,08$  МГц/В;  $\Delta F \approx 50-60$  кГц), а в областях изменения знака крутизны спектр уширяется ( $v_R=-0,1$  МГц/В,  $\Delta F \approx 120$  кГц). Однако при перестройке ОГДИ по ускоряющему напряжению ( $U_R$  постоянно) существуют области генерации с лучшим качеством спектра, чем в пролетном ГДИ. В частности, на рис. 3 приведены зависимости мощности, перестройки частоты и ширины спектра для длинноволнового колебания ОГДИ ( $f_0=53$  ГГц;  $U_R=-450$  В;  $k_2 \approx 0,3$ ) и пролетного ГДИ (штриховые кривые) от ускоряющего напряжения при значениях  $\mathcal{Z}=50$  мА. Из рисунка видно, что в ОГДИ существуют области с относительно малой крутизной ( $\partial f / \partial U_0 \approx 0-0,01$  МГц/В), где ширина спектра примерно в 1,5 раза меньше, чем в ГДИ с однократным пролетом.

Экспериментальные исследования спектральных характеристик отражательного кристаллона показали, что при использовании того же источника питания и режимах работы, близких к ОГДИ ( $f_0=75$  ГГц,  $U_0=2900$  В,  $U_R=-200$  В,  $\mathcal{Z}=20$  мА), минимальная ширина спектра составила 500 кГц, а мощность генерации — на порядок меньше, чем в ОГДИ.

Сравнивая приведенные выше данные с результатами исследований качества спектра пролетного ГДИ и резонансной ЛОВО [8], можно утверждать, что при одинаковой стабильности источников питания степень проявления паразитной модуляции в спектре ОГДИ значительно меньше, чем в резонансной ЛОВО и отражательном кристаллоне.

В ОГДИ при возбуждении дискретных зон генерации имеется практическая возможность осуществления эффективных амплитудной и частотной модуляций СВЧ-сигнала путем модуляции фазы отраженного пучка электронов, что является качественно новым явлением по сравнению с пролетным ГДИ. Экспериментальные исследования показали, что качество импульсов генерации (при амплитудной модуляции) и степень эффективности частотной модуляции определяются начальной фазой влета отраженного пучка электронов, амплитудами и качеством модулирующих напряжений, величиной электронного тока в пространстве взаимодействия, номером зоны генерации. Для обеспечения минимальных искажений при амплитудной модуляции постоянное значение модулирующего напряжения  $U_m$  должно находиться за пределами зоны генерации, а вершина  $U_m$  — в области центра зоны генерации (максимальной мощности). В частности, на рис. 4, а показана амплитудная модуляция СВЧ-сигнала ОГДИ для отдельной зоны генерации ( $U_0=2433$  В,  $f_0=72,43$  ГГц). Здесь же условно приведена амплитуда последовательности прямоугольных импульсов (длительностью  $\tau=760$  мкс), осуществляющих модуляцию, и осциллограммы возбуждаемых сигналов в точках «1», «2» зоны генерации. Из рисунка видно, что при амплитуде модулирующего импульса, соответствующей центру зоны колебания, импульсы генерации претерпевают незначительные изменения (сигнал 1). Существенные искажения импульсов генерации наблюдаются в области малых амплитуд колебания (сигнал 2), что в основном связано с техническими причинами: отклонениями модулирующих импульсов от прямоугольной формы, в частности большой длительностью переднего (~50 мкс) и заднего (~30 мкс) фрон-

тов. Это приводит к дополнительной паразитной амплитудной и частотной модуляции сигнала генерации. При улучшении качества модулирующих импульсов искажения сигнала в этой области зоны генерации уменьшаются. Если амплитуда модулирующего импульса  $U_m$  находится вблизи области жесткого режима возбуждения колебания (рис. 1), то в сигнале генерации наблюдаются сильные «дрожания» его огибающей и уширение спектра.

При близком расположении зон генерации и амплитудной модуляции в ОГДИ возрастает вероятность двухчастотного режима возбуждения колебаний. Это явление связано с двойной модуляцией фазы отраженного пучка вследствие расположения обеих вершин последовательности модулирующих импульсов в области существования колебаний. Разница между этими частотами определяется амплитудой  $U_m$  и крутизной перестройки частоты близлежащих зон генерации. В частности, этот случай показан на рис. 4, б, где приведены зоны генерации ОГДИ при  $U_0 = 2476$  В ( $f_0 = 72,46$  ГГц), огибающая СВЧ-сигнала и его спектр. В данном случае одновременно возбуждаются два сигнала с различной длительностью импульсов и частотой генерации, разнесенной на 3 МГц. Аналогичный эффект можно получить и в пределах одной зоны генерации, если постоянная составляющая напряжения  $U_R$  и амплитуда модулирующего импульса находятся в пределах этой зоны. Однако при возбуждении генератора в дискретных зонах от двухчастотного режима можно избавиться путем изменения постоянного напряжения  $U_R$ . В отличие от этого случая при возбуждении колебаний с осциллирующим характером изменения мощности и частоты генерации для произвольных значений  $U_R$  и амплитуд модулирующих импульсов всегда наблюдается двухчастотный режим генерации, что для некоторых практических применений нежелательно.

При исследовании в ОГДИ частотной модуляции СВЧ-сигнала установлено, что более эффективно частотная модуляция ОГДИ осуществляется для зон высшего порядка, где крутизна перестройки частоты максимальна. В частности, при амплитуде модулирующей синусоиды в 80 В и частоте модуляции  $f_m = 50$  Гц для колебания, приведенного на рис. 4, а, величина индекса частотной модуляции  $\beta = \Delta f / f_m = 1,4 \cdot 10^5$  ( $\Delta f$  – частотное отклонение от  $f_0$ ), а полоса качания частоты равна 14 МГц. Ширина спектра ЧМ-колебаний с  $\beta = 1,4 \cdot 10^5$  составила примерно 15 МГц, что близко к теоретическому значению при  $\beta \gg 1$ .

С увеличением тока пучка до значений  $\mathcal{J} = 4 - 6 \mathcal{J}_n$  существенных изменений в приведенных выше характеристиках не наблюдается. Однако при увеличении тока до значений  $\mathcal{J} \approx 10 \mathcal{J}_n$  уменьшается амплитуда генерируемых импульсов, возрастает паразитная модуляция в спектре и огибающей излучения, а для частотной модуляции уменьшается величина  $\beta$  и возникает уширение спектра сигналов генерации, что, по-видимому, связано с влиянием пространственного заряда на fazу модуляции обратного пучка электронов.

При необходимости получения в ОГДИ более высокой мощности генерации целесообразно использовать импульсную модуляцию по ускоряющему напряжению. Такие исследования были проведены для следующих параметров импульсов модулятора: длительность прямоугольных импульсов 0,1–10 мкс, частота следования 200–2000 Гц, амплитуда напряжения 1,4–7 кВ, уклон вершины импульсов 0,5–5 В/мкс. В результате экспериментальных исследований установлено, что в ОГДИ возбуждались импульсы генерации длительностью  $\tau = 0,15 - 9,9$  мкс с удовлетворительным качеством спектра. При этом ширина спектра сигналов  $\tau = 0,15 - 1$  мкс примерно соответствовала теоретическому значению  $\Delta F \approx (1 - 2) / \tau$ , а для импульсов  $\tau = 5 - 10$  мкс, как и в пролетном ГДИ [9], наблюдалось уширение спектра, связанное с паразитной частотной модуляцией СВЧ-сигнала. Однако путем подбора фазы отраженного пучка электронов (напряжением  $U_R$ ) можно улучшить качество импульсного сигнала: приблизить ширину спектра к теоретическому значению и уменьшить степень проявления паразитных эффектов. Так, если в пролетном ГДИ на длительностях

импульсов генерации  $\tau \approx 9,9$  мкс минимальная ширина спектра составила 600–800 кГц, то в ОГДИ она составила 300–350 кГц.

Отметим, что рассмотренные виды модуляции характерны и для отражательных клистронов. Однако в миллиметровом диапазоне с двукратным пролетом электронов ОГДИ имеют более высокую выходную мощность и стабильность частоты генерации, что является одним из определяющих факторов в ряде практических приложений.

## 2. ВЛИЯНИЕ МНОГОКРАТНЫХ ПРОЛЕТОВ НА ХАРАКТЕРИСТИКИ ОГДИ

Степень влияния многократных пролетов электронов на характеристики ОГДИ можно определить путем решения эквивалентной задачи возбуждения последовательно соединенных  $n$  «парциальных» пролетных ГДИ, разделенных фазами (временем) пролета электронов в тормозящих статических полях отражателя и электронной пушки. Такой подход, в частности, использовался для анализа характеристик отражательных клистронов [7]. Так, в линейном приближении для стартового тока и частоты генерации ОГДИ с многократным пролетом (в предположении однородного распределения поля в пространстве взаимодействия [4]) получим

$$(1) \quad \mathcal{I}_n \approx 0,165 \frac{z_q}{l} \frac{U_0^{1/2}}{Q} \frac{V}{L^3} \frac{e^{2\gamma(z_q+d)}}{(-g_{na}) \sinh 2\gamma z_q},$$

$$(2) \quad f = f_0 \left( 1 + \frac{1}{2Q} \frac{g_{nr}}{g_{na}} \right),$$

где

$$\begin{Bmatrix} g_{na} \\ g_{nr} \end{Bmatrix} = \begin{Bmatrix} F_a \\ F_r \end{Bmatrix} \sum_{m=1}^n k_m \mp 2M \frac{A}{\Phi_0^2} \sum_{m=2}^{n-2} \sum_{s=1}^{m-1} k_m \begin{Bmatrix} \cos \\ \sin \end{Bmatrix} \Phi_{ms} -$$

$$- \frac{M^2}{\Phi_0} \sum_{m=2}^{n-2} \sum_{k=1}^{m-1} \sum_{s=1}^k k_m \theta_{k,k+1} \begin{Bmatrix} \sin \\ \cos \end{Bmatrix} \psi_{ms} +$$

$$+ M^2 \sum_{m=3}^{n-3} \sum_{k=1}^{m-1} \sum_{s=1}^k k_m \begin{Bmatrix} \sin \\ \cos \end{Bmatrix} \psi_{ms},$$

$$\Phi_{ms} = \psi_{ms} + \frac{\Phi_0}{2} + \psi,$$

$$\psi_{ms} = (m-s) \Phi_0 + \sum_{v=1}^m \theta_{v-1,v} - \sum_{j=1}^s \theta_{j-1,j};$$

Функции  $g_{na}$ ,  $g_{nr}$  пропорциональны активной и реактивной составляющим мощности взаимодействия,  $n=1, 2, \dots, n_0$  – количество пролетов, ограниченное коэффициентом  $k_m = i_m / i_0$  токооседания пучка в пространстве взаимодействия области отражателя и электронной пушки,  $i_m$ ,  $i_0$  – постоянные токи – начальный и на входе в  $m$ -е пространство взаимодействия;  $\theta_{k,k+1}$  для нечетных значений  $k$  определяет статический угол пролета  $\theta_k$  электронов в поле отражателя, а для четных – в поле катода электронной пушки; остальные обозначения те же, что и для двукратного пролета [4].

Из анализа формул следует, что при  $k_m=1$ , определенных параметрах рассинхронизма  $\Phi_0$ , углах пролета электронов в поле отражателя  $\theta_k$  и катода электронной пушки увеличение количества пролетов в ОГДИ, как и в ЛОВО [10], уменьшает пусковой ток генератора примерно в  $n_0^3$  раз. Однако с учетом токооседания степень снижения пусковых токов уменьшается. Некоторые результаты таких расчетов приведены в таб-

лице, где даны значения функции  $G_n = -1/g_{n\alpha}$ , пропорциональной пусковому току (1);  $\theta_R \approx \theta_{23} \approx 16\pi$ ;  $\Phi_0 = 100\pi$  (абсолютный угол пролета [4]). Из таблицы видно, что в рассматриваемом случае при шестикратном пролете пусковой ток уменьшается примерно в 35 раз, в то время как без учета потерь электронов на токооседание — в 260 раз.

Проведенные экспериментальные исследования подтвердили теоретические результаты. В частности, пусковой ток в ОГДИ с многократным пролетом составил 1–5 мА, а в пролетном ГДИ составил 30–50 мА.

Однако, несмотря на снижение пусковых токов, в ОГДИ с многократным взаимодействием могут возникать нежелательные явления — сужение

$n_0$	1	2	3	4	5	6
$G_n$	7,8	1,9	0,98	0,46	0,28	0,22
$\Phi_0$	$-\pi$	$-0,5\pi$	$-0,2\pi$	$-0,1\pi$	$-0,1\pi$	$-0,1\pi$
$k_m$	1	0,5	0,4	0,3	0,2	0,1

зон или неравномерность характера изменения стартового тока, частоты и мощности генерации. Так, если в пролетном ГДИ в интервале изменения  $\Phi_0 = -2\pi - 0$  для заданной длины пространства взаимодействия возбуждается одна зона генерации, то многократность пролетов приводит к возбуждению нескольких, более узких зон или одной с неравномерным

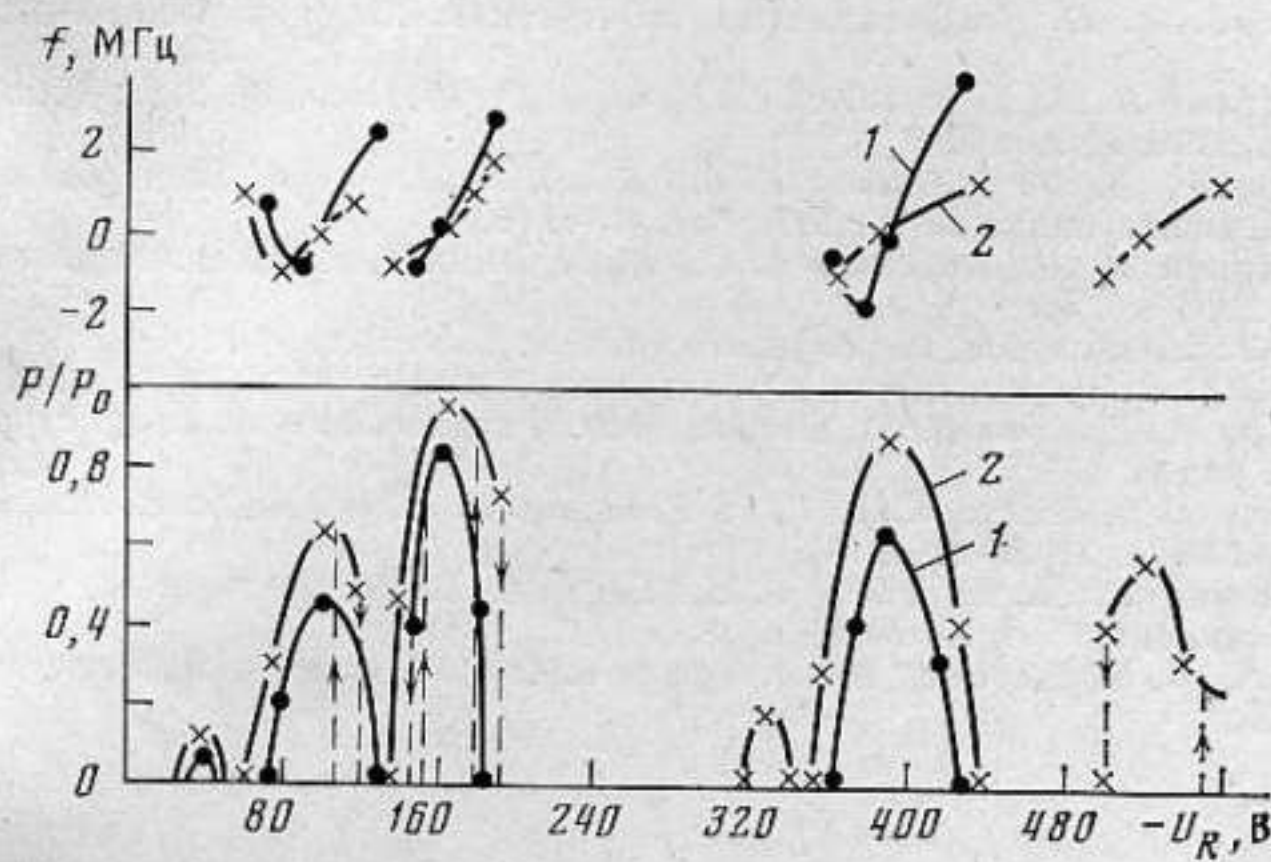


Рис. 5. Влияние многократности пролета электронов на зоны генерации отражательного ГДИ

изменением  $\mathcal{Z}_n$ ,  $f$ ,  $P$  при минимуме пускового тока в области  $\Phi_0 \approx -\pi/n_0$ . Явление «дробления» зон генерации, в частности, проиллюстрировано на рис. 5, где приведены экспериментальные зависимости мощности и частоты генерации от напряжения отражателя ( $U_0 = 2342$  В,  $\mathcal{Z} = 3\mathcal{Z}_n$  — кривые 1;  $\mathcal{Z} = 5\mathcal{Z}_n$  — кривые 2;  $\mathcal{Z}_n = 2$  мА). В заданном интервале  $U_R = -(20-560)$  В возбуждается шесть зон генерации, в то время как при двукратном пролете — 2 или 3 зоны. При этом возрастает степень проявления гистерезисных эффектов (штриховые линии со стрелками), существенно нарушается линейность перестройки частоты и ухудшается качество спектра излучения.

Рассмотренные явления связаны со значительным увеличением эффективной длины пространства взаимодействия в ОГДИ. Поэтому при использовании многократного взаимодействия ( $n > 2$ ) длину пространства

взаимодействия целесообразно уменьшать, что может быть достигнуто путем уменьшения радиуса кривизны сферического зеркала и уменьшения  $L$ . Это позволяет значительно улучшить характеристики ОГДИ с многократным взаимодействием, в частности, увеличить ширину и диапазон перестройки частоты зон генерации, уменьшить омические потери дифракционной решетки и габариты прибора по сравнению с пролетным ГДИ.

### ЗАКЛЮЧЕНИЕ

Из проведенных экспериментальных и теоретических исследований следует, что ОГДИ обладает широким диапазоном комбинированной перестройки частоты, который обеспечивается путем настройки открытого резонатора и изменения величины ускоряющего напряжения. В отличие от пролетного ГДИ ОГДИ, подобно отражательному клистрону, имеет эффективное безмощностное электронное управление энергетическими, частотными и спектральными характеристиками СВЧ-сигнала. Диапазон безмощностной перестройки частоты максимальен при возбуждении отдельных зон генерации и ограничен амплитудой осцилляций при непрерывном изменении частоты. В коротковолновой области мм-диапазона мощность генерации и качество спектра СВЧ-сигнала в ОГДИ выше, чем в отражательном клистроне и в резонансной ЛОВО.

Возможность использования в ОГДИ многократности взаимодействия электронного потока с СВЧ-полем позволяет значительно снизить пусковые и рабочие токи, уменьшить длину и омические потери дифракционной решетки, что указывает на целесообразность создания на базе таких устройств задающих и гетеродинных генераторов МСМ-диапазона.

### ЛИТЕРАТУРА

1. Шестопалов В. П. Дифракционная электроника. Харьков: Изд-во Харьк. ун-та, 1976.
2. Балаклицкий И. М., Воробьев Г. С., Цвык А. И., Шестопалов В. П. Докл. АН УССР. Серия А, 1976, № 9, с. 822.
3. Балаклицкий И. М., Воробьев Г. С., Вягин Г. И. и др. Электронная техника. Серия 1. Электроника СВЧ, 1977, вып. 10, с. 105.
4. Балаклицкий И. М., Воробьев Г. С., Цвык А. И. Изв. вузов. Радиоэлектроника, 1980, т. 23, 10, с. 49.
5. Лукин К. А. Изв. вузов. Радиофизика, 1980, т. 23, № 9, с. 1113.
6. Шматъко А. А. Радиотехника и электроника, 1981, т. 26, № 6, с. 1260.
7. Гайдук В. И., Палагов К. И., Петров Д. М. Физические основы электроники СВЧ. М.: Сов. радио, 1971.
8. Балаклицкий И. М., Воробьев Г. С., Годецкий А. Н. и др. Изв. вузов. Радиоэлектроника, 1978, т. 21, № 10, с. 105.
9. Балаклицкий И. М., Воробьев Г. С., Цвык А. И., Шестопалов В. П. Изв. вузов. Радиофизика, 1978, т. 21, № 12, с. 1853.
10. Голант М. Б., Бобровский Ю. Л. Генераторы СВЧ малой мощности. М.: Сов. радио, 1977.

Поступила в редакцию  
13.IV.1982